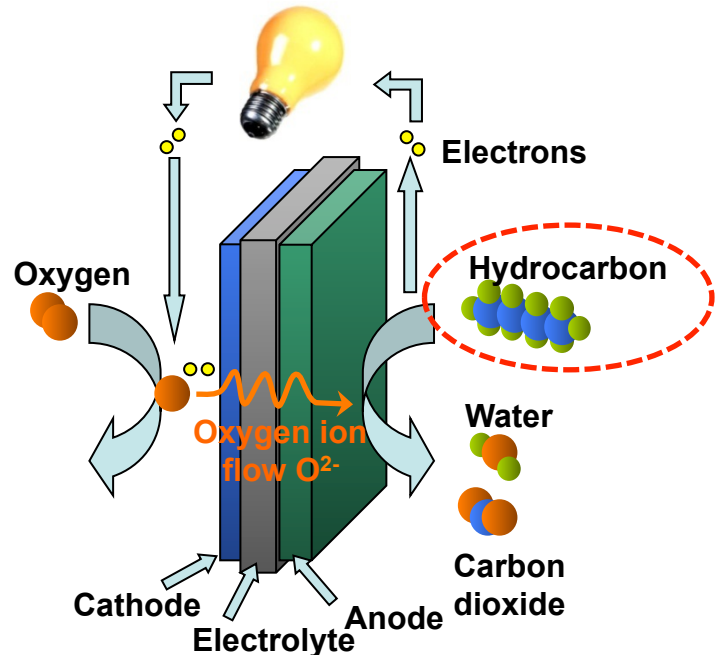


SOFC tip gorivnih celic



Izzivi za SOFC materiale:

Zvišanje ionske prevodnosti (elektrolit)

Možnost uporabe ogljikovodikov (anodni material)

minimizacija odlaganja C

tolerantnost na S

Kosintranje večslojnega sistema

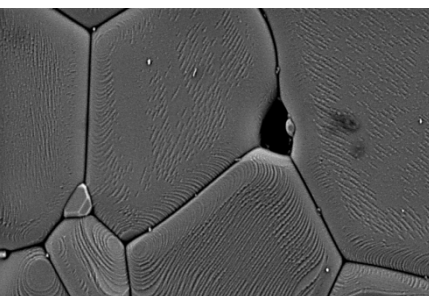
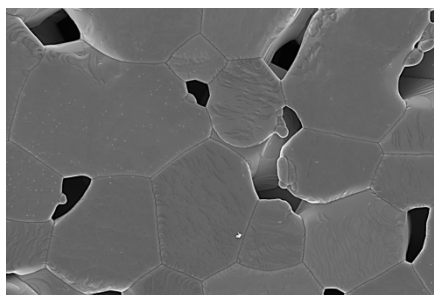
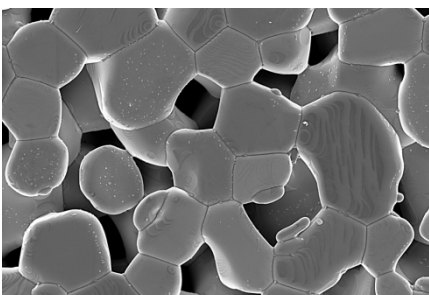
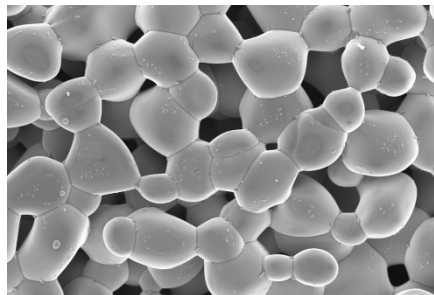
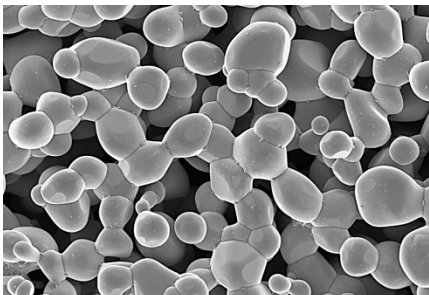
fundamentalni študiji sintranja

(La_{0.75}Sr_{0.25})_{0.9}Cr_{0.5}Mn_{0.5}O₃ (LSCM):

- Comparable performance with Ni-YSZ in H₂S free gas
- Sulphur tolerance decreases as Mn content is increased (MnS and La₂O₂S formation), opposite trend for anode performance

Sinteza in sintranje LSCM

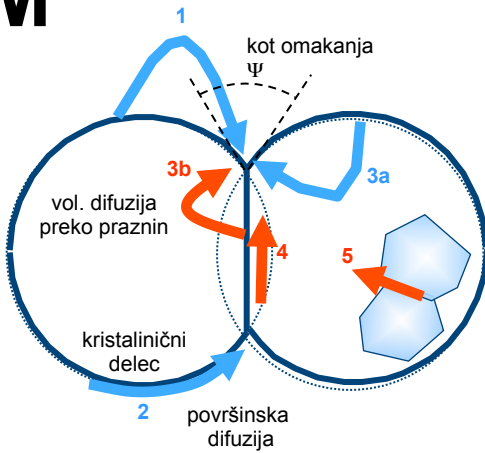
- Sinteza različnih sestav LSCM
- Opis sintranja različnih LSCM



Vzorec	$T_s / ^\circ\text{C}$	$\rho_{\text{rel.s.}} / \%$	$\epsilon / \%$	$\bar{d} / \mu\text{m}$	Ψ	$d_x / \mu\text{m}$	$d_y / \mu\text{m}$
LSCM1	1200	49,067	50,933	0,500	0,746	0,569	0,552
LSCM2	1300	60,245	39,755	0,887	0,830	0,960	0,956
???	???	76,581	23,419	1,379	0,784	1,526	1,503
???	???	90,455	9,545	1,612	0,804	1,763	1,767

- Opis mikrostrukture sintranega LSCM

Kinetika sintranja LSCM

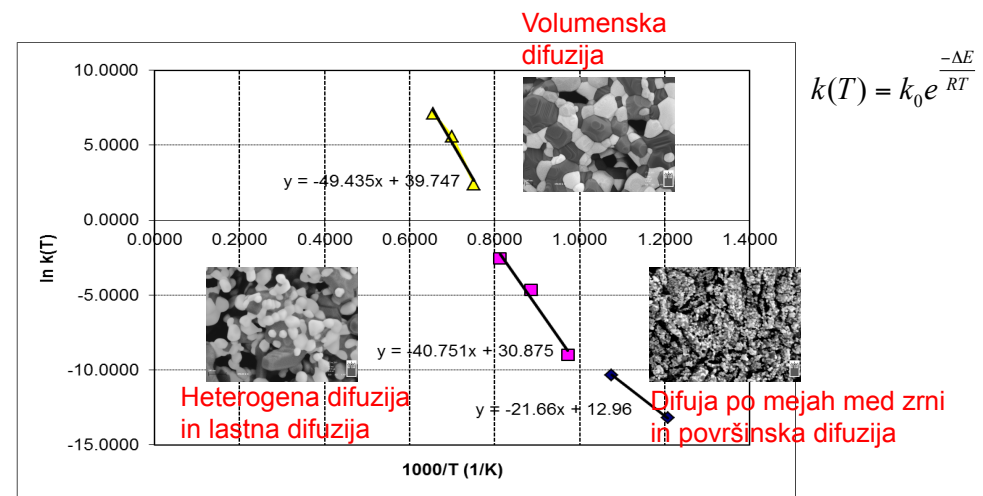
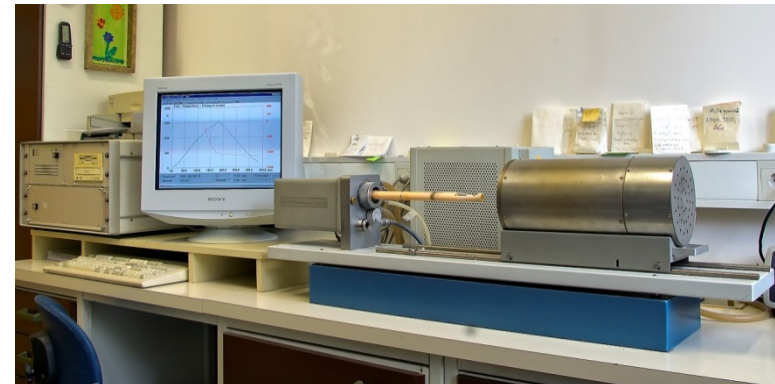


1. transport skozi zunano parno fazo
2. površinska difuzija
3. volumenska difuzija
4. difuzija po mejah med zrni
5. viskozni tok:

Makipirtti-Meng modelna enačba sintranja:

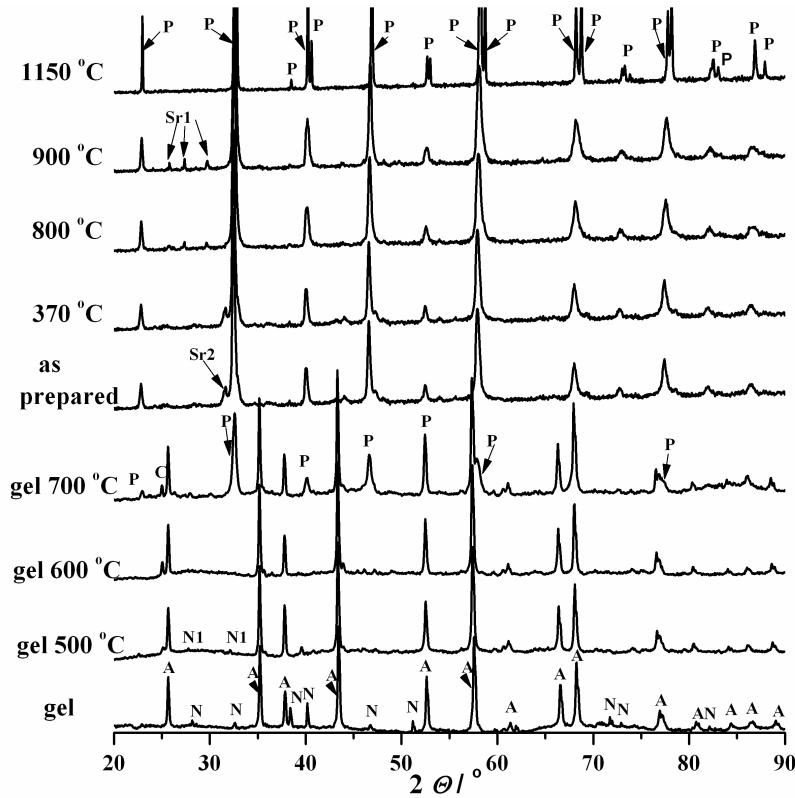
$$\frac{dY}{dt} = nk(T)Y(1-Y)\left(\frac{1-Y}{Y}\right)^{\frac{1}{n}}$$

- Stopenjsko sintranje različnih sestav LSCM
- Računska obdelava podatkov



Kristalografske lastnosti LSCM

- XRD analiza različnih LSCM
- Snemanje visokotemperaturnih XRD spektrov



- Opis razvoja faz
- Obdelava podatkov in kristalografski izračuni

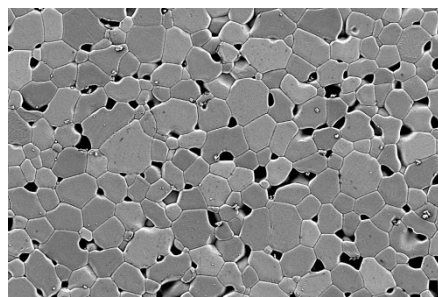
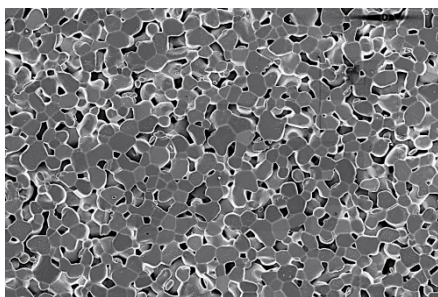
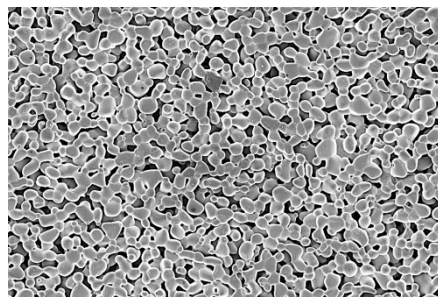
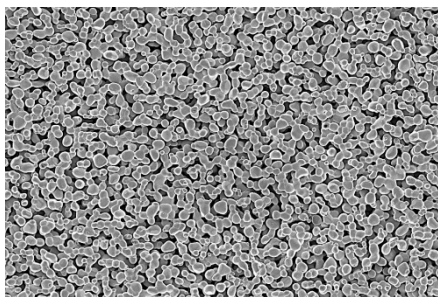
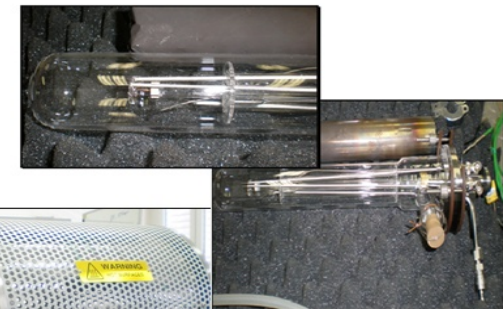
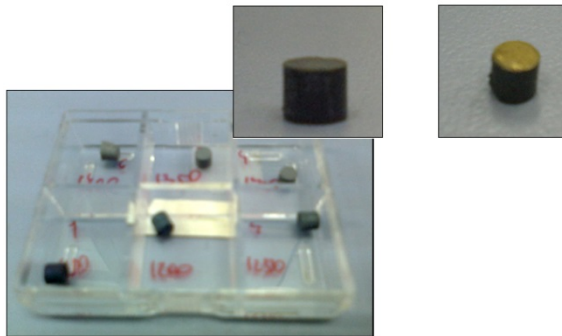


P- perovskite
A- corundum
N- $\text{Sr}(\text{NO}_3)_2$
N₁- SrN_xO_z
C- carbon
Sr₁- Sr_2CrO_4
Sr₂- SrCrO_4

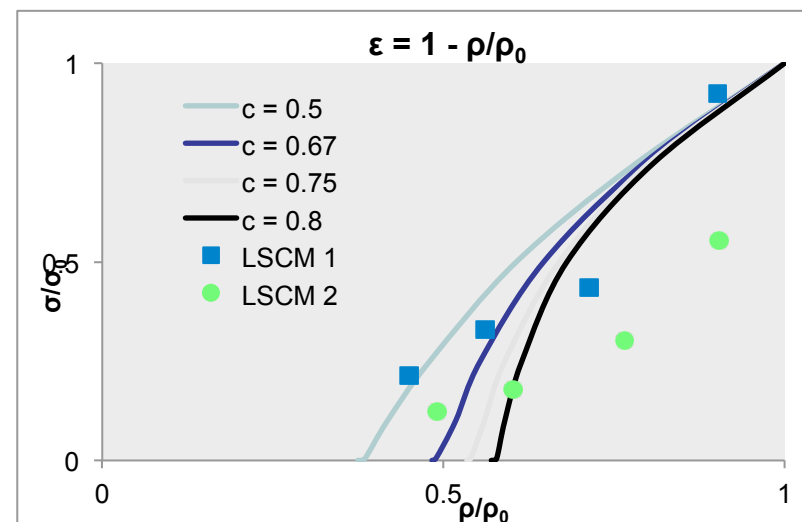
Vzorec	a (Å)	C (Å)	V (Å ³)	ρ (g/cm ³)
LSCM1	5,498	13,319	348,668	6,502
LSCM2	5,508	13,327	350,122	6,548
LSCM3	???	13,319	348,152	6,493
???	???	???	???	????

Električne lastnosti LSCM

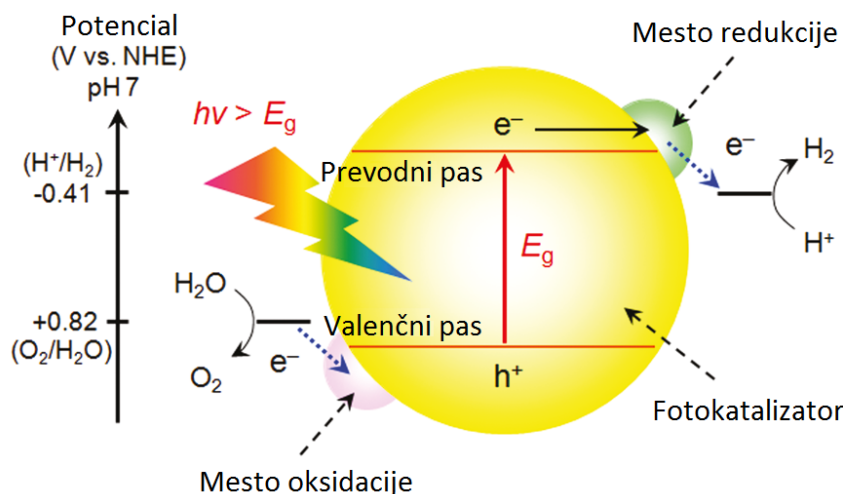
- Priprava tablet LSCM
- Sintranje LSCM pri različnih pogojih
- Opis mikrostrukture



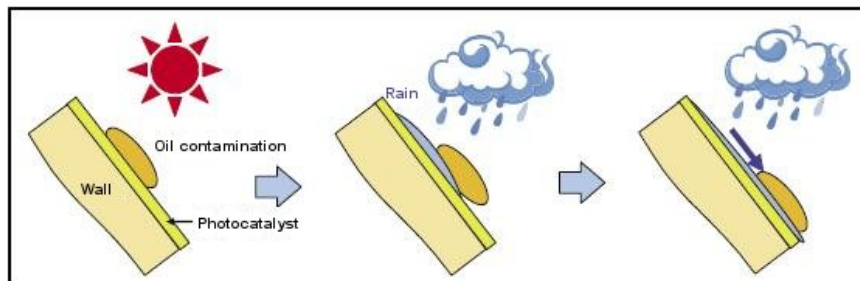
- Merjenje električne upornosti sintranega LSCM
- Obdelava podatkov



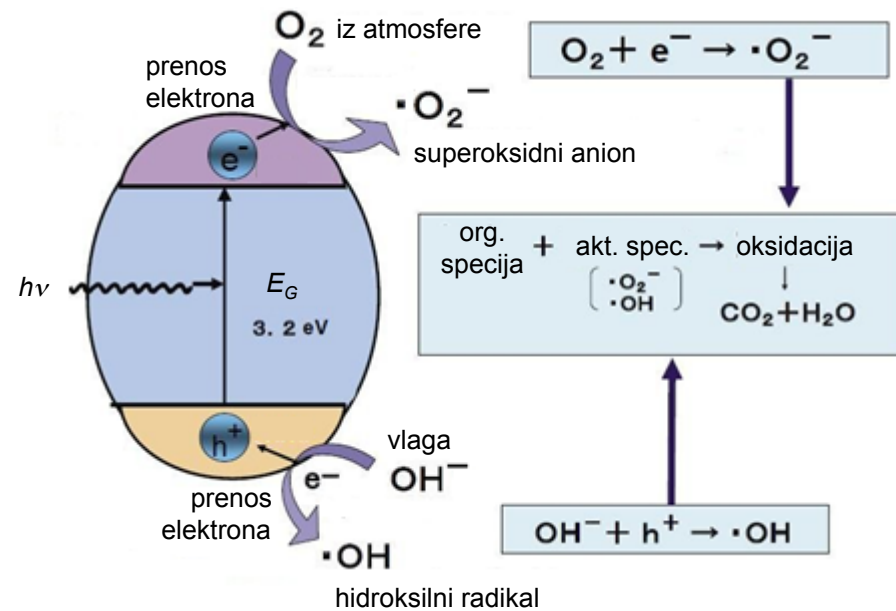
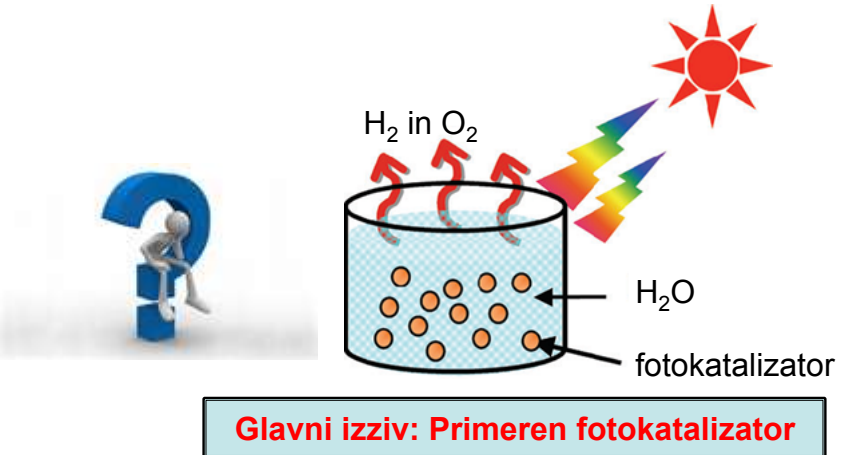
Fotokatalizatorji



Breztokovni razklop vode



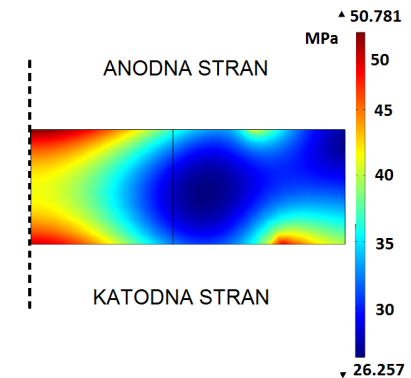
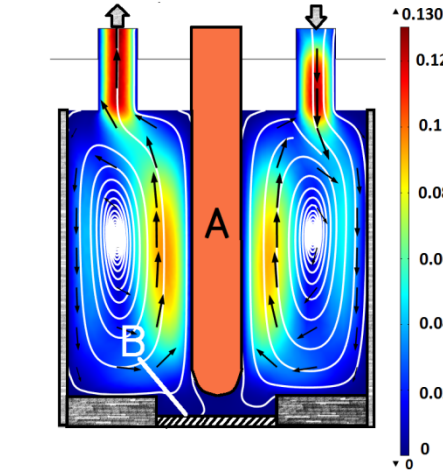
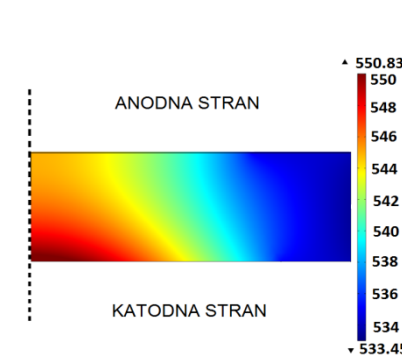
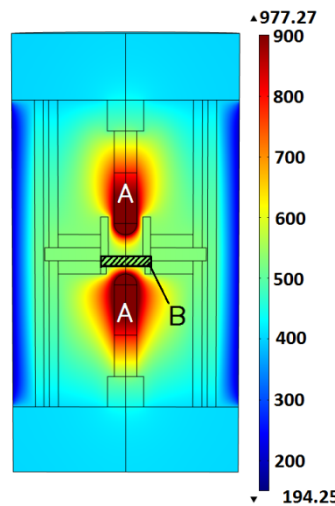
Samočistilni premazi



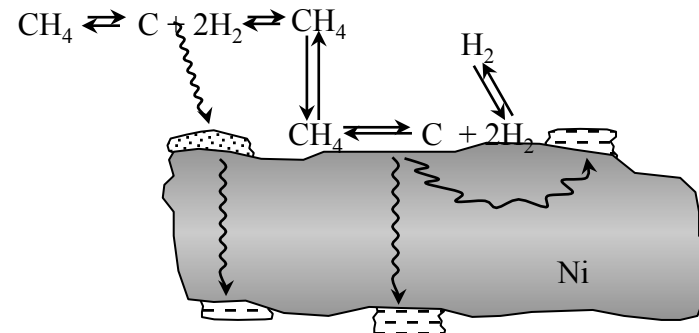
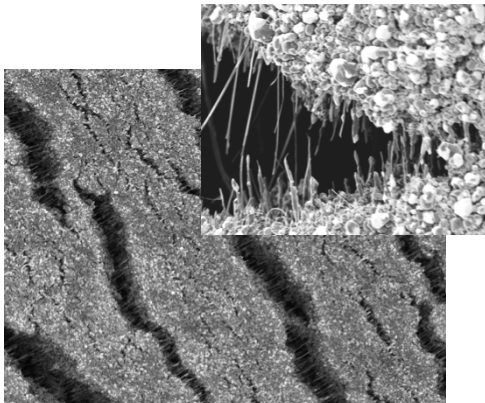
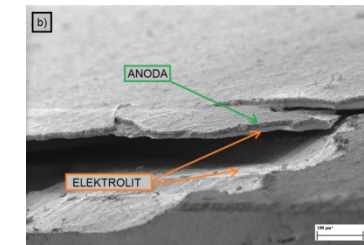
Oksidacija organskih polutantov

- Določevanje fotokatalitske aktovnosti različnih TiO_2 katalizatorjev

Modeliranje



Inducirane termične napetosti v membrani

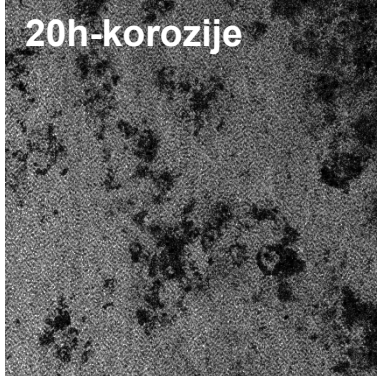
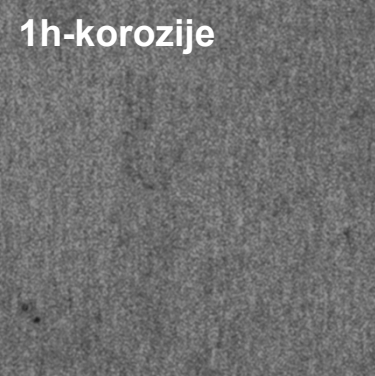


- Modeliranje na mikronivoju
- Spoznavanje s programskim orodjem
- Opis modela na mikronivoju
- Modeliranje različnih scenarijev na mikronivoju

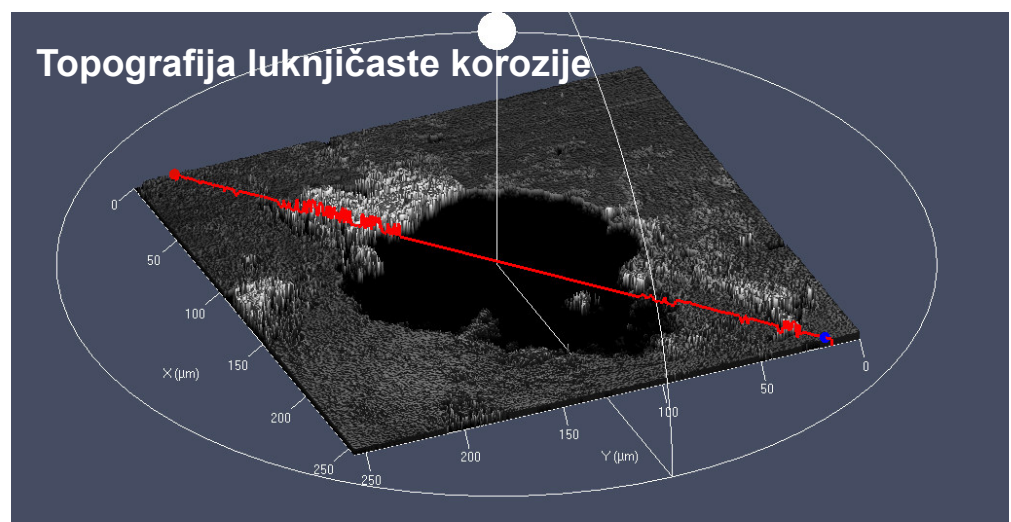
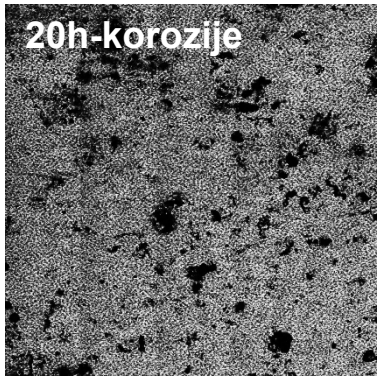
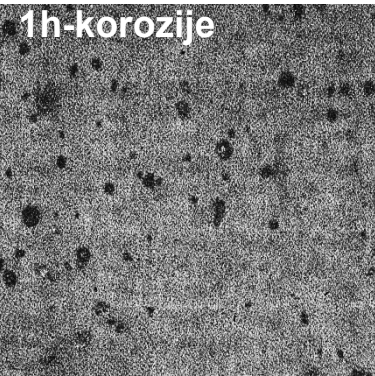
Konfokalna mikroskopija

- Spremljanje korozijskih procesov

Nepolirano jeklo 321, pasivirano



Polirano jeklo 321, pasivirano



Opravljanje diplome v partnerskih organizacijah

- Možnost opravljanja diplome v industriji
- Možnost opravljanja diplome na raziskovalnih inštitutih